

ОПТИЧЕСКИЕ СВОЙСТВА ДВУОКСИСИ ГЕРМАНИЯ, ИМПЛАНТИРОВАННОЙ ИОНАМИ КРЕМНИЯ

И. П. Акимченко, В. В. Краснопевцев, Л. Пайасова

УДК 539.219.3 + 539.216.22 + 546.289

Исследованы спектры ИК поглощения и отражения в УФ области двуокиси германия, имплантированной ионами Si с энергией 40 кэВ (доза $3,5 \cdot 10^{16} \text{ см}^{-2}$). Структура спектров отражения в области 6–14 эВ зависит от плотности тока ионного пучка. В результате отжига при 500°C образуется гетерофазная система $\text{GeO}_2-\text{SiO}_2$, которую можно использовать в качестве пассивирующей пленки для германия.

Исследования отражения в УФ области спектра и ИК поглощения GeO_2 гексагональной и стеклообразной модификаций показывают, что внедрение ионов при дозах выше $5 \cdot 10^{15} \text{ см}^{-2}$ приводит к существенному уменьшению скорости травления окисла в воде, обусловленному изменением структуры /1/. Однако после отжига при температуре около 500°C в атмосфере скорость травления GeO_2 , имплантированного ионами N, Ar, B, практически восстанавливается. Наиболее глубокие структурные превращения в GeO_2 происходят при внедрении P и Si, изоморфно замещающих атомы Ge. Вместе с тем, было обнаружено, что степень изменения структуры зависит не только от величины дозы, но и от плотности тока ионного пучка.

В настоящей работе предпринята попытка синтезировать твердый раствор $\text{GeO}_2-\text{SiO}_2$ при ионной имплантации Si в двуокись германия. Одновременно исследуется корреляция между плотностью тока ионного пучка и содержанием новой фазы в имплантированном слое. Внедрение ионов Si с энергией 40 кэВ в пленки GeO_2 , выраженные путем анодного окисления германия, проводилось при комнатной температуре и дозе ионов $3,5 \cdot 10^{16} \text{ см}^{-2}$, соответствующей примерно 10% SiO_2 в GeO_2 . Плотность тока ионного пучка Si составила 0,5; 0,8 и $2,5 \text{ мкA}/\text{см}^2$. Отжиг имплантированного GeO_2

производился при 500°C в течение 30 мин. Спектры отражения в УФ области (спектрометр MVR-100, энергия фотонов 5–14 эВ) и спектры ИК поглощения (спектрометр UR-10, диапазон 700–1300 cm^{-1}) снимались при комнатной температуре до и после термообработки.

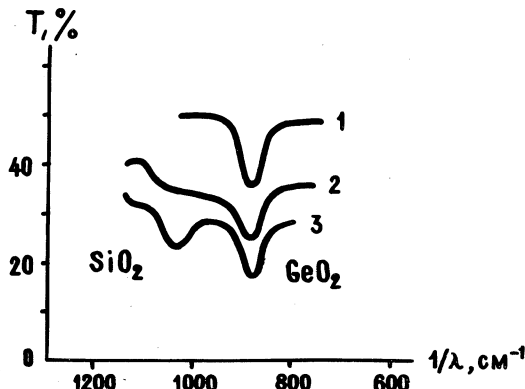


Рис. I. Спектры ИК пропускания GeO_2 : исходная пленка (1), Si -имплантированный GeO_2 до (2) и после (3) отжига при 500°C, 30 мин. Кривые 2 и 3 смещены относительно кривой 1 на 15 и 20% соответственно

На рис. I представлены спектральные кривые ИК поглощения исходной пленки GeO_2 (1) после ионной имплантации (2) и после отжига (3). В результате внедрения ионов Si наблюдается уменьшение поглощения в полосе с максимумом при 880 cm^{-1} , характерной для колебаний связи $\text{Ge}-\text{OGe}$. Одновременно с коротковолновой стороны этого максимума появляется дополнительное поглощение, простирающееся до 1100 cm^{-1} . Уменьшение поглощения в максимуме при 880 cm^{-1} и увеличение ИК поглощения в довольно широкой спектральной области объясняются, по всей вероятности, уменьшением числа осцилляторов $\text{Ge}-\text{OGe}$ и образованием связей нового типа. Широкая бесструктурная полоса поглощения в интервале волновых чисел 900–1100 cm^{-1} связана, по-видимому, с перекрытием полос, обусловленных аморфными SiO (1000–980 cm^{-1}), SiO_2 (1090–1050 cm^{-1}) и Si_2O_3 (1060–1020 cm^{-1}). Последующий отжиг Si -имплантирован-

ногого GeO_2 на подложке из Ge приводит к возникновению единичного максимума при 1080 cm^{-1} , который отвечает SiO_2 (кривая 3). Изменение j ($0,5\text{--}2,5 \text{ мкА}/\text{см}^2$) в спектрах поглощения практически не проявляется.

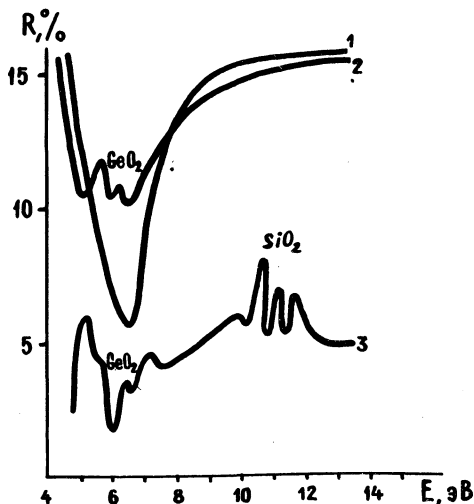


Рис. 2. Спектры отражения GeO_2 , имплантированного кремнием при дозе $3,5 \cdot 10^{16} \text{ см}^{-2}$ и $j = 2,5$ (1), $0,8$ (2) и $0,5$ (3) $\text{мкА}/\text{см}^2$

На рис. 2 приведены спектры отражения пленок GeO_2 после внедрения ионов Si при разных значениях j . Структура спектров отражения оказывается тем богаче, чем меньше величина j . При максимальном значении $j = 2,5 \text{ мкА}/\text{см}^2$ (кривая 1) в спектре отражения наблюдается глубокий минимум около 7 эВ, а в коротковолновой области полностью отсутствует какая-либо структура. При $j = 0,5 \text{ мкА}/\text{см}^2$ (кривая 3) в спектре появляются структура, характерная для гексагонального GeO_2 (область 5–8 эВ), и несколько добавочных осциллирующих максимумов в области II–I4 эВ, которые можно приписать вновь образованным связям Si с O [2], что находится в согласии с данными об ИК поглощении.

Наконец, на рис. 3 представлены спектры отражения Si -имплантированных пленок GeO_2 после термообработки при 500°C (кривые

I и 2). Для сравнения показаны спектры стеклообразных окислов SiO_2 (3) и GeO_2 (4). В пленке GeO_2 , имплантированной при меньшем значении j , наблюдаются два широких максимума (отмечены стрелками), совпадающие с максимумами отражения SiO_2 . В спектре

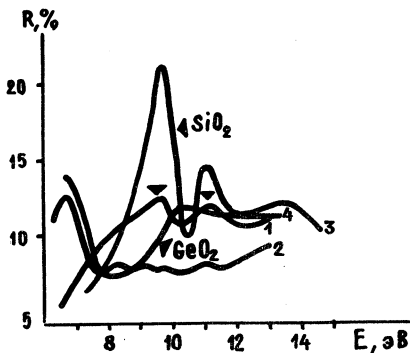


Рис. 3. Спектры отражения GeO_2 , имплантированного кремнием при $j = 0,5$ (1) и $2,5$ (2) $\text{мкА}/\text{см}^2$, после отжига при 500°C ; стеклообразного SiO_2 (3) и стеклообразного GeO_2 (4)

отражения образца, подвергнутого бомбардировке при более высоком значении j , отчетливые максимумы, характерные для SiO_2 , отсутствуют, хотя кривая отражения имеет немонотонный вид.

Полученные данные указывают на образование фазы SiO_2 в слое GeO_2 при имплантации Si. Синтез SiO_2 протекает, по-видимому, в результате разрыва связей Ge-O-Ge, освобождения атомарного кислорода, образования новых связей Si-C и дальнейшего роста фазы SiO_2 из элементарных зародышей в процессе последующей термообработки. Наиболее интенсивное образование новых молекулярных комплексов происходит в клиньях смещений (тепловых клиньях), где в течение очень короткого времени выделяется существенная часть кинетической энергии внедренных атомов. Эти клинья представляют собой области возбужденного состояния конденсированной фазы, которое характеризуется высокими давлением и температурой. Вероятность образования определенных молекулярных связей будет тем выше,

ше, чем ниже энергия образования радикалов, так что в среднем, при достаточном насыщении имплантированного слоя GeO_2 атомами Si, из всех возможных связей в первую очередь будут возникать связи O-Si-O и Si-O. Энталпия образования таких радикалов, как SiO , GeO , Ge_2 , SiGe , Si_2 , а также аморфных SiO_2 , GeO_2 , SiO , GeO из элементов в их стандартном состоянии при 298 К составляет, соответственно, -1,07; -0,32; 4,99; 5,48; 6,16; -9,3; -5,6; -4,5; -2,7 эВ на молекулу /3/. При этом процесс образования SiO_2 оказывается более эффективным при малых J. Это обстоятельство можно объяснить более высокой степенью аморфизации при низких плотностях тока ионного пучка, поскольку при повышенной величине J кристаллизация (рекристаллизация) аморфной фазы начинается в процессе бомбардировки /4/.

Si-имплантированные пленки GeO_2 после отжига не растворяются в воде. Тот факт, что в спектре отражения не было замечено переходов, которые можно было бы приписать твердому раствору $\text{GeO}_2\text{-SiO}_2$ (в области спектра 5,6-8,1 эВ), говорит об образовании в имплантированном слое гетерофазной системы.

Таким образом, внедрение ионов Si в GeO_2 при малых значениях J и последующая термообработка при 500°C приводят к образованию гетерофазной системы $\text{GeO}_2\text{-SiO}_2$, которая может быть использована в качестве пассивирующей пленки для германия, так как она является гораздо более устойчивой к влаге, по сравнению с двуокисью германия стеклообразной или гексагональной модификаций.

Авторы благодарны Х. Р. Каздаеву за проведение ионного внедрения.

Поступила в редакцию
2 июня 1977 г.

Л и т е р а т у р а

1. И. П. Акимченко, В. В. Галкин, В. В. Краснопевцев, В. С. Крашенинников, Д. В. Милотин, А. В. Спицын, Микроэлектроника, 2, в.2, 166 (1973).
2. I. Rajasova. Czechoslovak J. Phys., B19, 1265 (1969).
3. Л. П. Рузинов, Б. С. Гуляницкий. Равновесные превращения металлургических реакций. М., Изд-во "Металлургия", 1975 г.
4. Н. Н. Герасименко, А. В. Двореченский, С. И. Романов, Л. С. Смирнов, ФТШ, 7, в. II, 2195 (1972).